

**Introduction**  
A quantitative gamma-ray spectrometric and aeromagnetic airborne geophysical survey of the Northwestern Athabasca Basin, Saskatchewan, was completed by Goldak Airborne Surveys. The survey was flown from June 24th to September 21st, 2010, using two Piper PA-31 Navajo aircraft (C-GJBA, C-GJBB) and one Cessna Caravan (C-GLDX). The nominal track spacing was 400 m and 200 m, respectively. The flight path was recovered following post-flight differential corrections to raw data recorded by a Global Positioning System.

**Gamma-ray Spectrometric Data**  
The airborne gamma-ray measurements were made with a Radiation Solutions RS-500 gamma-ray spectrometer using fourteen 102x102x06 mm NaI (Tl) crystals. The main detector array consisted of twelve crystals (total volume 50.4 litres). Two crystals (total volume 8.4 litres), shielded by the main array, were used to detect variations in background radiation caused by atmospheric radon. The system constantly monitored the natural thorium peak for each crystal, and using a Gaussian least squares algorithm, adjusted the gain for each crystal.

Potassium is measured directly from the 1460 keV gamma-ray photons emitted by <sup>40</sup>K, whereas uranium and thorium are measured indirectly from gamma-ray photons emitted by daughter products (Bi<sup>214</sup> for uranium and Tl<sup>208</sup> for thorium). Although these daughters are far down their respective decay chains, they are assumed to be in equilibrium with their parents, thus gamma-ray spectrometric measurements of uranium and thorium are referred to as equivalent uranium and equivalent thorium, i.e. eU and eTh. The energy windows used to measure potassium, uranium and thorium are, respectively, 1370–1570 keV, 1660–1860 keV and 2410–2610 keV.

Gamma-ray spectra were recorded at one-second intervals. Data processing followed standard procedures as described in IAEA, 1991 and IAEA, 2003. During processing, the spectra were energy calibrated, and counts were accumulated into the windows described above. Counts from the radon detectors were recorded in a 1600–1800 keV window and radon levels greater than 2000 cpm were recorded in the cosmic window. The window counts were corrected for dead time, background activity from cosmic radiation, radioactivity of the aircraft and atmospheric radon decay products. The window data were then corrected for spectral scattering in the ground, air and detectors. Corrections for variations from the planned terrain clearance and for variations in temperature and pressure were made prior to conversion to ground concentrations of potassium, uranium and thorium, using factors determined from flights over the Delavision, Saskatchewan calibration range. The factors for potassium, uranium, and thorium are listed in Table 1.

	C-GJBA	C-GJBB	C-GLDX
Potassium (cpa%)	83.27	82.06	90.73
Uranium (cpsppm)	12.88	12.88	12.88
Thorium (cpsppm)	5.81	6.45	6.57

Table 1. Gamma Ray Spectrometer Sensitivities for each aircraft

Corrected data were filtered and interpolated to a 100 m grid interval. The results of an airborne gamma-ray spectrometer survey represent the average surface concentrations that are influenced by varying amounts of vegetation, vegetation cover, soil moisture and surface water. As a result the measured concentrations are usually lower than the actual bedrock concentrations. The total air absorbed dose rate in nanorays per hour was produced from measured counts between 400 and 2810 keV.

**Magnetic Data**  
The magnetic field was sampled 10 times per second using a split-field cesium vapour magnetometer (sensitivity = 0.005 nT) rigidly mounted to the aircraft. Differences in magnetic values at the intersections of control and magnetic lines were used to produce a residual magnetic field. The residual values were then interpolated to a 100 m grid. The International Geomagnetic Reference Field (IGRF) defined at the average GPS altitude of 510 m for the year 2010.01 was then removed. Removal of the IGRF, representing the magnetic field of the Earth's core, produces a residual component related to the magnetization of the Earth's crust.

The first vertical derivative of the magnetic field is the rate of change of magnetic field in the vertical direction. Computation of the first vertical derivative removes low wavelength features of the magnetic field and significantly improves the resolution of closely spaced and superposed anomalies. Appropriety of first vertical derivative maps is the coincidence of the zero-value contour with vertical contacts of magnetic units at high magnetic latitudes (Hood, 1965).

**LEVÉ GÉOPHYSIQUE DE LA PARTIE NORD-OUEST DU BASSIN ATHABASCA, SASKATCHEWAN**

**Introduction**  
Un levé géophysique aéroporté combinant l'acquisition de données de spectrométrie gamma et de données magnétique a été réalisé dans la partie nord-ouest du bassin de l'athabasca Saskatchewan par la société Goldak Airborne Surveys. Le vol a été effectué du 24 juin au 21 septembre 2010, à bord de deux avions Piper PA-31 Navajo (C-GJBA, C-GJBB) et d'un Cessna Caravan (C-GLDX). L'épaveur nominal des lignes de vol était de 400 m et celui des lignes de contrôle de 200 m. Le système nominal de levé était de 125 m au-dessus du sol et de 62,5 m entre les lignes de contrôle et 200 m entre les lignes de contrôle. Les lignes de contrôle ont été ajustées à l'aide d'un système de correction différentielle. Les données brutes enregistrées avec un récepteur GPS.

**Données de spectrométrie gamma**  
Les mesures du rayonnement gamma ont été effectuées à l'aide d'un spectromètre gamma Radiation Solutions RS-500 utilisant quatorze cristaux de NaI (Tl) de 102x102x06 mm. Le niveau des cristaux critiques se composent de deux cristaux (volume total de 50,4 litres). Deux cristaux (volume total de 8,4 litres), protégés par les autres cristaux, ont été utilisés pour détecter les variations du rayonnement naturel causées par le radon atmosphérique. Le dispositif permettait de faire un suivi constant des pics du thorium pour chacun des cristaux et, en moyennant d'un algorithme d'ajustement gaussien les données brutes enregistrées pour chaque cristaux.

Le potassium est mesuré directement à partir des photons gamma de 1460 keV émis par le <sup>40</sup>K, tandis que l'uranium et le thorium sont mesurés indirectement à partir des photons gamma émis par des produits de fission (Bi<sup>214</sup> pour l'uranium et Tl<sup>208</sup> pour le thorium). Bien que ces radionucléides de fission se trouvent loin dans leur chaîne respective de désintégration, on presume qu'ils sont en équilibre avec leur radioéléments père. Ainsi, les mesures spectrométriques du rayonnement gamma de l'uranium et du thorium sont désignées comme des équivalents d'uranium et des équivalents de thorium, soit eU et eTh. Les plages d'énergie utilisées pour mesurer le potassium, l'uranium et le thorium sont respectivement de 1370 à 1570 keV, de 1660 à 1860 keV et de 2410 à 2610 keV. Le débit total de la dose absorbée par l'air, en nanorays à l'heure, a été déterminé à partir des coups mesurés dans la plage de 400 à 2810 keV.

Les spectres du rayonnement gamma ont été enregistrés à intervalle d'une seconde. Le traitement des données a suivi les procédures standards décrites dans IAEA, 1991 et IAEA, 2003. Pendant le traitement, les spectres ont été corrigés d'un décalage énergétique et les coups ont été cumulés dans les plages décrites ci-dessus. Les coups obtenus à l'aide des capteurs de radon ont été enregistrés dans la plage de 1600 à 1800 keV et le rayonnement à des énergies supérieures à 3000 keV a été enregistré dans la plage du rayonnement cosmique. Les coups enregistrés dans les plages ont été corrigés pour tenir compte de la perte des neutrons, du rayonnement cosmique, de la radioactivité de l'avion et des produits de désintégration du radon atmosphérique. Les données ont ensuite été corrigées pour tenir compte de la diffusion spectrale dans le sol, l'air et les détecteurs. Les corrections pour les variations de la hauteur de vol prévue pour les variations de température et de pression ont été effectuées. Le traitement des données a consisté à convertir les concentrations équivalentes au sol de potassium, d'uranium et de thorium à des concentrations de surface en utilisant des facteurs déterminés lors de vols effectués au-dessus de la bande d'étalonnage de Delavision, Saskatchewan. Les facteurs pour le potassium, l'uranium et le thorium sont présentés au Tableau 1. Pour la mise en carte, un file a été appliqué aux données corrigées, qui ont ensuite été interpolées suivant une grille à maille de 100 m.

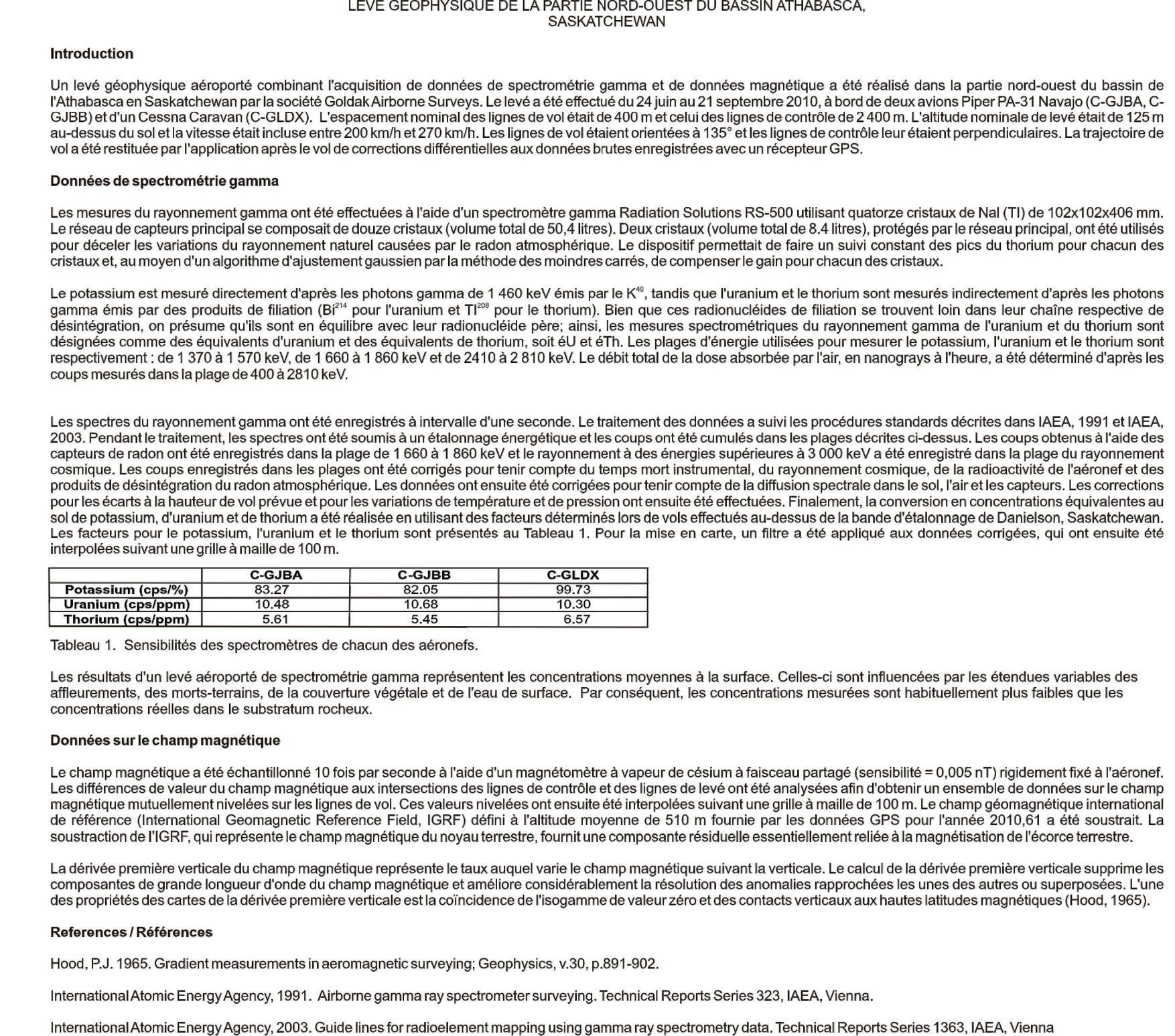
	C-GJBA	C-GJBB	C-GLDX
Potassium (cpa%)	83.27	82.06	90.73
Uranium (cpsppm)	12.88	12.88	12.88
Thorium (cpsppm)	5.81	6.45	6.57

Tableau 1. Sensibilités des spectromètres de chacun des aéronefs.

Les résultats d'un levé aéroporté de spectrométrie gamma représentent les concentrations moyennes à la surface. Celles-ci sont influencées par les étendus variables des affaissements, des motifs-terrestres, de la couverture végétale et de l'eau de surface. Par conséquent, les concentrations mesurées sont habituellement plus faibles que les concentrations réelles dans le substratum rocheux.

**Données sur le champ magnétique**  
Le champ magnétique a été échantillonné 10 fois par seconde à l'aide d'un magnétomètre à vapeur de césium à faisceau partagé (sensibilité = 0,005 nT) rigidement fixé à l'aéronef. Les différences de valeur du champ magnétique aux intersections des lignes de contrôle et des lignes de levé ont été analysées afin d'obtenir un ensemble de données sur le champ magnétique mutuellement nivelées sur les lignes de vol. Ces valeurs nivelées ont ensuite été interpolées suivant une grille à maille de 100 m. Le champ géomagnétique international de référence (International Geomagnetic Reference Field, IGRF) défini à l'altitude moyenne de 510 m sur la base des données GPS pour l'année 2010.01 a été soustrait. La soustraction de l'IGRF, qui représente le champ magnétique du noyau terrestre, fournit une composante résiduelle essentiellement liée à la magnétisation de la croûte terrestre.

La dérivée première verticale du champ magnétique représente la taux auquel varie le champ magnétique suivant la verticale. Le calcul de la dérivée première verticale supprime les composantes de grande longueur d'onde du champ magnétique et améliore la résolution des anomalies superposées. L'appropriété des cartes de la dérivée première verticale est la coïncidence de la ligne de valeur zéro des contacts verticaux aux limites magnétiques (Hood, 1965).



PLANIMETRIC SYMBOLS	SYMBOLES PLANIMÉTRIQUES
Drainage	Drainage
Highway	Autoroute
Flight line	Ligne de vol

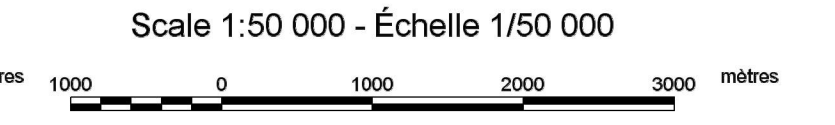
This airborne geophysical survey and the production of this map were funded by the Saskatchewan Ministry of Energy and Resources and the GEM-Energy Program of the Earth Sciences Sector, Natural Resources Canada.

Ce levé géophysique aéroporté et la production de cette carte ont été financés par le ministère de l'Énergie et des Ressources de la Saskatchewan et le programme GEM-Energie du Secteur des sciences de la Terre, Ressources naturelles Canada.

GSC OPEN FILE 6807 / DOSSIER PUBLIC 6807 DE LA CGC  
SMER OPEN FILE 2011-42

**GEOPHYSICAL SERIES / SÉRIE DES CARTES GÉOPHYSIQUES**  
**AIRBORNE GEOPHYSICAL SURVEY OF THE NORTHWESTERN ATHABASCA BASIN, SASKATCHEWAN**  
**LEVÉ GÉOPHYSIQUE AÉROPORTÉ DE LA PARTIE NORD-OUEST DU BASSIN ATHABASCA, SASKATCHEWAN**  
NTS 74 P/06 and 74 P/07 Lytle Lake and Higginson Lake / NTS 74 P/06 et 74 P/07 Lytle Lake et Higginson Lake

**URANIUM**

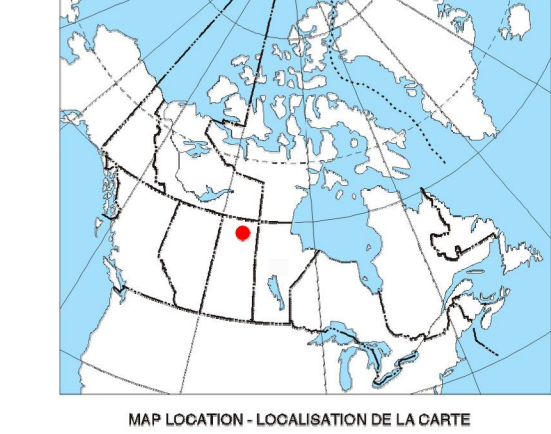


Authors: Fortin, R., Coyle, M., Buckle, J., Hefford, S.W. and Delaney, G.

Auteurs: Fortin, R., Coyle, M., Buckle, J., Hefford, S.W. et Delaney, G.

Data acquisition, compilation and map production by Goldak Airborne Surveys, Saskatoon, Saskatchewan. Contact and project management by the Geological Survey of Canada, Ottawa, Ontario.

Localisation, la compilation des données ainsi que la production des cartes furent effectuées par Goldak Airborne Surveys, Saskatoon, Saskatchewan. La gestion et la supervision du projet furent effectuées par la Commission géologique du Canada, Ottawa, Ontario.



**MAP SHEET SUMMARY / SOMMAIRE DES FEUILLETS**

Sheet	MAP / CARTE
1	Natural Air Absorbed Dose Rate Taux d'absorption naturel des rayons gamma dans l'air
2	Potassium
3	Uranium
4	Thorium
5	Uranium / Thorium
6	Uranium / Potassium
7	Thorium / Potassium
8	Tammy Radiationless Map Carte sans radionucléides
9	Residual Total Magnetic Field Composante résiduelle de champ magnétique total
10	First Vertical Derivative of the Magnetic Field Dérivée première verticale du champ magnétique

**OPEN FILE 2011-42**

**OPEN FILE DOSSIER PUBLIC 6807**

Open file are products that have not gone through the GSC normal publication process. Les documents publiés sont des produits qui n'ont pas été soumis au processus normal de publication de la CGC.

2011  
SHEET 3 OF 10  
FEUILLET 3 DE 10

**OPEN FILE DOSSIER PUBLIC 6807**

Open file are products that have not gone through the GSC normal publication process. Les documents publiés sont des produits qui n'ont pas été soumis au processus normal de publication de la CGC.

2011  
SHEET 3 OF 10  
FEUILLET 3 DE 10

**Recommended citation:**  
Fortin, R., Coyle, M., Buckle, J., Hefford, S.W. and Delaney, G., 2011. Geophysical Series. Airborne Geophysical Survey of the Northwestern Athabasca Basin, Saskatchewan, NTS 74 P/06 and 74 P/07, Lytle Lake and Higginson Lake. Geological Survey of Canada, Open File 6807. Saskatchewan Ministry of Energy and Resources (SMER), Open File 2011-42; échelle 1:50 000.

**Notation bibliographique conseillée:**  
Fortin, R., Coyle, M., Buckle, J., Hefford, S.W. et Delaney, G., 2011. Série des cartes géophysiques. Levé géophysique aéroporté de la partie nord-ouest du bassin Athabasca, Saskatchewan, NTS 74 P/06 et 74 P/07, Lytle Lake et Higginson Lake. Commission géologique du Canada, Dossier public 6807. Ministère de l'Énergie et des Ressources de la Saskatchewan (SMER), Open File 2011-42; échelle 1:50 000.